

漸拡開水路流の2次流について

九州工業大学大学院 学生員 ○政徳 克志 鬼束 幸樹
 九州工業大学工学部 正員 浦 勝 秋山 壽一郎
 九州工業大学工学部 学生員 岡本 実

1.はじめに

本報告は、水路幅が流下方向に緩やかにかつ直線的に拡がる漸拡流の実験的研究の結果である。今回は水路入口に顕著な2次流をもつ場合の2次流の変化を詳細に測定した結果を報告する。

2.実験方法

実験用水路は長さ20.5m, 幅60cm, 高さ60cmの可変勾配水路で底面はステンレス製、側壁はアクリル製である。水路にはアクリル製の助走部および漸拡部を取り付けてある。漸拡部入口に座標原点をとり、流下方向にX軸、鉛直上向き方向にY軸、右岸から左岸に向かって水平方向にZ軸をとる。助走部は長さ2m、幅19.6cm、漸拡部は長さ5mで水路幅B(x)がB(0)=19.6cmからB(500)=60cmに直線的に拡がる。水路床勾配1/10000、下流端水深h(1245)=13.5cm、流量Q=9300cc/sである。流速測定はX型Hot-Film流速計を用いて右岸側片断面を506点の格子状にステッピングモーターによる自動計測を行い、 \bar{u} , \bar{v} 及び \bar{u} , \bar{w} を1.92秒間にサンプリング間隔0.01秒で1度づつ行った。ここに \bar{u} は時間平均Uと変動成分uで表され、U, V, WはそれぞれX, Y, Z方向流速成分を表す。表-1に測定断面の位置X、アスペクト比B/h、測定結果の代表値および図-1, 4, 5に示した図番を示す。

3.実験結果及び考察

図-1に主流速Uのコンターラインの流下方向変化を示す。本実験は助走部(a)で最大流速点が水路両側にある流れである¹⁾。そのため漸拡部に入ってからも(c)断面まではその傾向が強く残っており、水路中央部は流下するにしたがい減速傾向にある。しかし、さらにアスペクト比が大きくなる(d)断面ではU/U_{max}=0.9の領域が水路中央水面付近まで拡がり、その後も流下するにつれ中央部分での流速が一様化していくことがわかる。次に図-2には乱れの生成項 $G = -\overline{uud}U/dx - \overline{uvd}U/dy - \overline{uwd}U/dz$ 、乱れの散逸項 ε 及びその差G-εの横断面積分値の流下方向変化を、図-3には乱れ強度 $k = (u'^2 + v'^2 + w'^2)/2$ の横断面積分値の流下方向変化を示す。X<260cm、つまり(c)より上流部では乱れの散逸量より生成量の方が大きくそれが下流側に運ばれるためkが増加する。X>260cmではG<εとなるためkの値は逆に減少していく²⁾。次に図-4, 5に2次流ベクトル $S = (V^2 + W^2)^{1/2}$ 、局所平均流速で無次元化(e)した2次流強度SI=S/Uをそれぞれ示す。2次流強度は断面内において強い領域を黒、ハッチで塗りつぶしている。助走部の(a)では側壁付近で下降流、水路中央で上昇流の大きな渦と、側壁

表-1 水理諸量

Fig. No.	X (cm)	B (cm)	B/h	平均 流速 (cm/s)	最大 S (cm/s)	最大 SI (%)
(a)	-97	19.6	1.55	37.1	2.72	7.58
	10	20.8	1.58	34.6	1.76	5.48
(b)	90	27.0	2.08	26.7	1.46	5.92
	175	33.7	2.60	21.4	1.12	7.24
(c)	260	40.0	3.05	16.9	0.96	10.13
(d)	340	47.1	3.59	15.0	1.49	18.15
	430	54.0	4.12	13.4	0.74	8.58
(e)	480	57.4	4.34	12.3	0.98	9.15
	700	60.0	4.51	12.1	0.57	6.65
	900	60.0	4.53	11.8	0.40	6.46

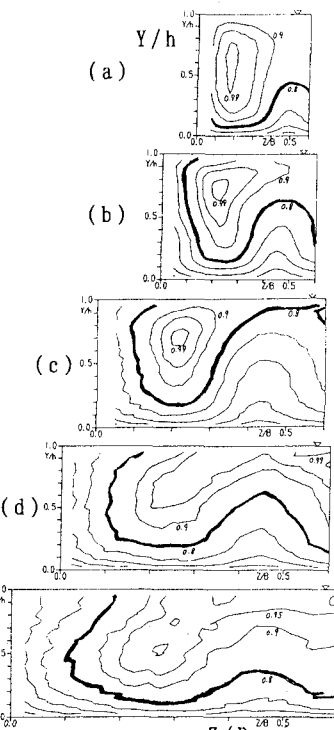


図-1 主流速分布U/U_{max}

面付近の弱い渦が存在する。(b)になり水路幅が拡がると水路隅角部に小さな渦が発生し全部で3つの渦となる。さらに幅が拡がり(c)になると側壁水面の渦が横方向に拡がるとともに、水路中央の渦が水面付近から隅角部へ向かう流れとなる。そのため隅角部にあった小さな渦を鉛直上方向へ移動させる。その後(d)では隅角部の渦はより弱くかつ小さくなり、(e)では完全に側壁水面の渦に吸収される。そして最後は鉛直方向に水深 h 、水平方向に $2h$ 程度の水路中央の渦と、鉛直方向に $0.6h$ 、水平方向に h 程度の側壁水面付近の二つの渦になる。また図-5より二次流の強いところは水路中央の上昇流部と底面付近であることがわかる。二次流強度は、等流では水面で最も大きく局所平均流速の5%、隅角凹部へ向かう流れで2%程度であり³⁾、それと比較して漸拡流では水路中央の底面の渦のため底面で大きな値をとり、(d)で最大16%にもなることがわかる。

4. おわりに

漸拡部入口において顕著な2次流がない場合は表面渦が大きい²⁾。しかし、助走部で最大流速部が2つあり、強い2次流がある場合の漸拡流では2つの渦が存在するが底面渦が支配的であることがわかった。

参考文献

- 1)今本, 藤井, 藤井 : 京大防災研年報, 第20号 B-2, 1977
- 2)鬼東, 浦, 政徳, 秋山 : 土木学会年講II, p740~741, 1993
- 3)今本, 石垣, 梶間 : 京大防災研年報, 第30号 B-2, 1987

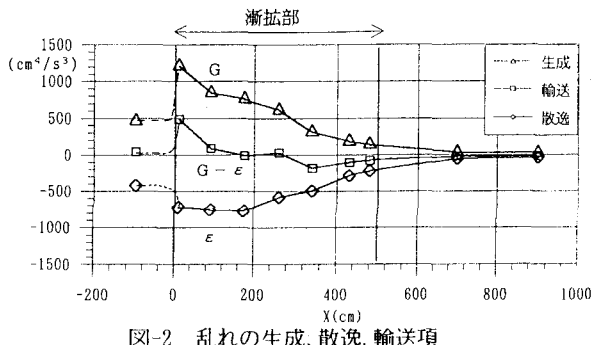


図-2 亂れの生成、散逸、輸送項

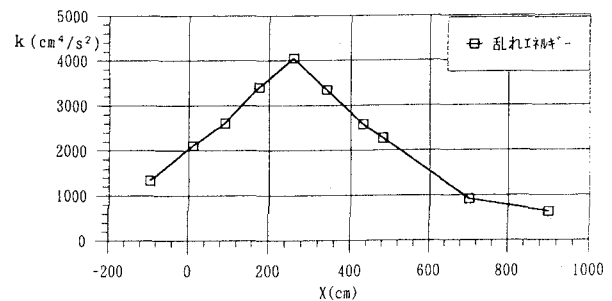


図-3 乱れエネルギーの推移

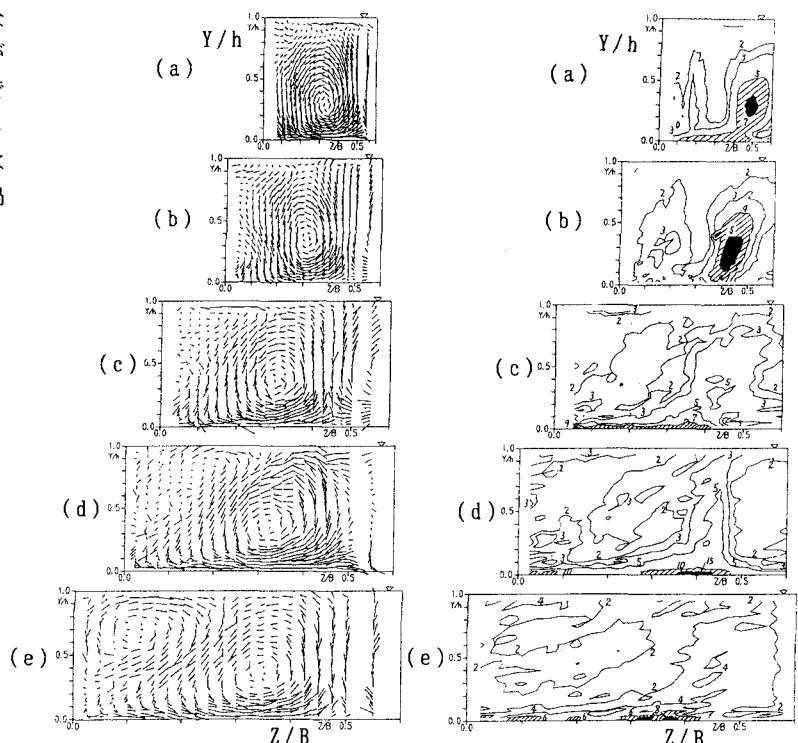


図-4 2次流ベクトル

図-5 2次流強度